

61. Т. М. Грязнов и др. Докл. АН СССР, 1982, 267, 3, 619.
62. Е. Я. Малинчика, А. М. Дураченко, В. Т. Борисов. Изв. АН СССР. Металлы, 1983, 1, 142.
63. H. Lieberman. Патент США 4377622.
64. D. Raybould.— In: Shock waves and high — strain — rate phenomena in metals. Concepts and application. N. Y.— L.: Plenum Press, 1981.
65. M. A. Meyers, B. B. Gupta, L. L. Murr. J. of Metals, 1981, October, 21.
66. P. Kasiraj e. a.— In: Shock waves in condensed matter. Proc. Amer. Phys. Soc.: Topical Conf., July 1983. N. Y.— L.: Elsevier Science Publishers, 1984.
67. L. E. Murr, M. F. Rose. Philos. Mag., 1968, 18, 452, 281.
68. M. A. Meyers, S. L. Wang, B. B. Gupta.— In: Shock waves in condensed matter. Proc. Amer. Phys. Soc.: Topical Conf., July 1983. N. Y.— L.: Elsevier Science Publishers, 1984.
69. D. Raybould.— In: Modern developments in powder metallurgy: APMI Princeton. New Jersey, 1981.
70. D. Raybould. Metal powder report, 1980, 35, 10, 467.
71. D. Raybould. Metal powder report, 1982, 37, 5, 241.
72. N. C. Birla, W. Krishnaswamy. Powder Metallurgy, 1981, 4, 203.
73. D. Raybould. Metal powder report, 1982, 37, 11.
74. P. Gaskell. Acta Metallurgica, 1981, 29, 1203.
75. Shock waves and high — strain — rate phenomena in metals. Concepts and applications. N. Y.— L.: Plenum Press, 1981.
76. L. Leonardsson. Dilatometry of metallic glasses. Goteborg, Chalmers Univ. of Technology, 1984.
77. H. Iwasaki e. a.— In: High Pressure in Science and Technology. Pt. 1. Proc. 9-th AIRAPT Int. High Pressure conf. N. Y.— Amsterdam — Oxford, 1983.
78. He Shouan e. a.— In: High Pressure in Science and Technology. Pt. 2. N. Y.— Amsterdam — Oxford, 1983.
79. Wang Wen-Kui e. a.— In: High Pressure in Science and Technology. Pt. 3. N. Y.— Amsterdam — Oxford, 1983.
80. Р. С. Ишаков, М. М. Карпенко, А. А. Кузовников. Препринт ин-та физики им. Л. В. Киренского СО АН СССР, № 284 Ф. Красноярск, 1984.
81. D. Raybould. The carbide and tool Journal, 1984, March/April, 18.
82. W. H. Gourdin, C. J. Echer, C. F. Cline e. a. Lawrence Livermore Lab. Preprint UCRL-85274, May, 1981.

ПРОСТАЯ МОДЕЛЬ ДЛЯ РАСЧЕТА ЭНЕРГИЙ ИНИЦИРОВАНИЯ ГЕТЕРОГЕННОЙ И ГАЗОВОЙ ДЕТОНАЦИИ

С. А. Ждан, В. В. Митрофанов

(Новосибирск)

Одна из важных проблем гетерогенной и газовой детонации — инициирование самоподдерживающегося процесса спильной ударной волной, возникающей в результате локального выделения энергии за короткий промежуток времени.

В данной работе предлагается модель инициирования, точнее — конструктивный метод определения критических энергий инициирования газовой и газокапельной детонации, в основу которого положена зависимость минимума скорости нестационарной детонационной волны (ДВ) от относительной ширины ее фронта.

Универсальная зависимость минимальной скорости нестационарной ДВ. Задача о сферическом ($v = 3$), цилиндрическом ($v = 2$) и плоском ($v = 1$) сильном взрыве в монодисперсных (диаметром d_0) распылах капель углеводородов в кислороде или воздухе содержит два независимых параметра с размерностью длины: d_0 — диаметр капель и $r_0 = (E_v/p_0)^{1/v}$ — так называемый динамический радиус. (Здесь E_v — энергия инициирующего взрыва в Дж · м^{v-3}, p_0 — начальное давление смеси в Па.) Зависимый, по очень важный для околоскритических явлений параметр — ширина детонационного фронта, определяемая в общем случае совокупностью многих физических и химических релаксационных процессов. Основную роль среди них при достаточно быстрых химических реакциях играет процесс деформации и распада первоначальных капель с характерным временем $t_0 = d_0 \sqrt{\rho_2/\rho_1} / u_1$. Этому времени в установившей-

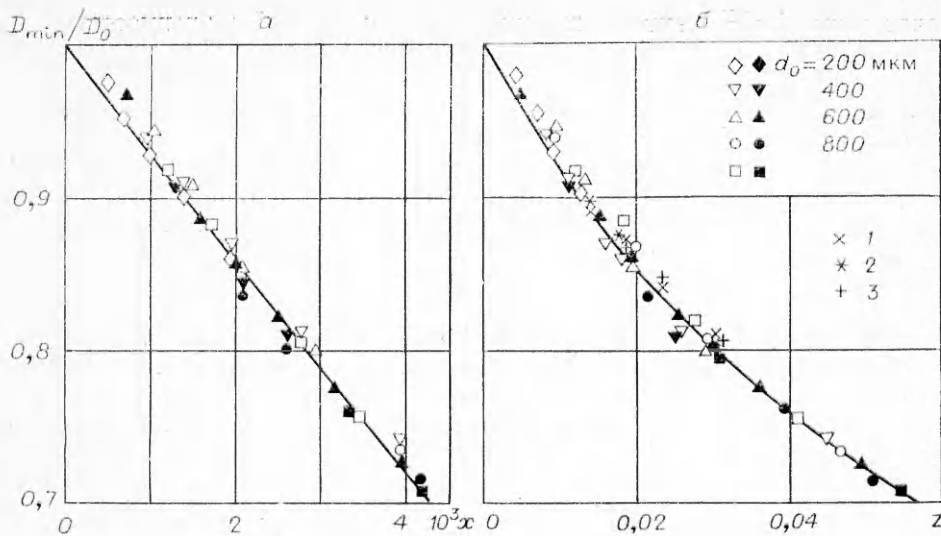


Рис. 1. Зависимость D_{\min}/D_0 от безразмерного параметра $x = \lambda_0/r_0$ (а) и от относительной ширины зоны реакции (б).

Светлые точки — $v=2$; 1—3 — полидисперсные распылы.

ся детонационной волне Ченмена — Жуге, движущейся со скоростью D_0 , соответствует характерная длина

$$\lambda_0 = t_0 D_0 = d_0 \sqrt{\rho_2/\rho_0} (\gamma \sigma_0 - 1/\gamma \sigma_0)^{-1},$$

где $\sigma_0 = \rho_1/\rho_0$ — сжатие газа за ведущей ударной волной (УВ); $u_1 = D_0(1 - 1/\sigma_0)$ — скорость сжатого газа; ρ_2 — плотность жидкости.

Расчеты инициирования гетерогенной детонации [1—4] показывают, что минимум скорости D_{\min} нестационарной ДВ убывает с ростом d_0 и уменьшением r_0 . Анализ расчетных данных D_{\min} при различных значениях d_0 и r_0 и нулевых временах химической индукции $\tau_u = 0$ позволил установить, что D_{\min} зависит от безразмерного параметра $x = \lambda_0/r_0$. На рис. 1, а представлены результаты численных расчетов D_{\min}/D_0 при различных x . Причем в указанных переменных минимум скорости не зависит от геометрии задачи (v). Найденные значения D_{\min} в монодисперсных распылах представимы в виде

$$D_{\min} = D_0(1 - 69x), \quad (1)$$

изображеннем на рис. 1 линией.

Для полидисперсных распылов горючего (распыл состоит из k групп капель диаметром d_{i0}) нельзя использовать зависимость (1), так как в этом случае существует $k+1$ независимый параметр (d_{i0} ($i = 1, \dots, k$), r_0) с размерностью длины, и заранее не ясно, как определять средний диаметр капель в полидисперсном распыле горючего. Покажем, что обобщение (1) возможно и на полидисперсные распылы, если в качестве характерного размера выбрана ширина зоны реакции нестационарной ДВ. Обозначим через l_m ширину зоны гетерогенной детонации, т. е. расстояние от УВ до точки $u + c = D$, в момент времени, когда скорость ДВ принимает значение D_{\min} . Рассмотрим зависимость D_{\min} от безразмерного параметра $z = l_m/r^0$, где $r^0 = (E_v/\delta p_0)^{1/v}$, $\delta(v, \gamma_0)$ — из теории точечного взрыва [5]. На рис. 1, б изображены расчетные зависимости D_{\min}/D_0 от параметра z ($\tau_u = 0$) для монодисперсных [3] распылов горючего в сферическом и цилиндрическом случаях симметрии. Все данные по минимальным скоростям нестационарных ДВ в указанных переменных (с точностью до разброса расчетных величин) группируются вдоль единой кривой. Это позволяет утверждать, что минимальная скорость нестационарной ДВ является однозначной функцией относительной ширины зоны z , т. е. $D_{\min}/D_0 = f(z)$. Значения D_{\min} от z доста-

точно точно ($\pm 2\%$) аппроксимируются аналитической зависимостью

$$(D_0/D_{\min})^2 = 1 + 18,5z, \quad (2)$$

приведенной на рис. 1, б линией. Ширина зоны естественно зависит от D_{\min} и v . Обозначим через $y = D_0/D_{\min}$ и определим зависимость $l_m = \psi(y, v) l_0$, где l_0 — ширина зоны при $D = D_0$. В принятых обозначениях (2) имеет вид $y^2 - 1 = 18,5\psi(y, v)l_0/r^0$, а (1) преобразуем к виду $y^2 - 1 = 69(y^2 + y)\lambda_0/\delta^{1/v}r^0$. Сравнивая эти выражения и помня, что l_0 не зависит от y и v , находим

$$\psi(y, v) = (y^2 + y)/2\delta^{1/v}, \quad l_0 = 7,46\lambda_0.$$

Критические явления в гетерогенной детонации. Все предыдущие соотношения получены для случая, когда химические реакции в газовой фазе протекают настолько быстро, что l_m определяется исключительно механическими процессами разрушения и ускорения капель жидкости, хорошо изученными экспериментально [6, 7]. Однако для каждого состава исходной детонационной среды при снижении энергии инициирующего взрыва до некоторой величины E_{vkr} , которой соответствует r_{vkr}^0 , в точке минимума скорости волны достигаются критические условия детонации такие, что при более низкой скорости позатухающее распространение ДВ становится невозможным. Причина возникновения критической ситуации состоит в быстром росте задержек воспламенения.

Для гетерогенных (газ — капли) систем задержка воспламенения t_3 включает в себя помимо периода индукции химических реакций t_n время подготовительных физических процессов t_p : дополнительное диспергирование (дробление) исходных капель, испарение, перемешивание. Примем предложенное в [8—10] аддитивное представление задержек воспламенения

$$t_3 = t_n + \tau_n,$$

представив

$$\tau_n = K_n(\rho_0/\rho)^n (T_0/T)^m \exp(E/RT),$$

где K_n , n , m , E — константы.

За характерное время для монодисперсных газокапельных смесей можно взять величину

$$t_n \approx 2t_0, \quad (3)$$

соответствующую моменту наиболее интенсивного дробления и парообразования. Переформулируем выписанные временные соотношения в эквивалентных расстояниях, обозначив через l_n — ширину зоны подготовительных физических процессов, а через $l_3 = l_n + x_n$ — ширину зоны задержки энерговыделения.

Полагаем, что величина минимума скорости ДВ определяется не полной шириной зоны l_m , а лишь ее частью — зоной задержки энерговыделения l_3 , которая при $x_n = 0$ совпадает с $l_n = \Delta l_m$, где

$$\Delta = \text{const} \approx t_n D_{\min}/l_m \approx 0,25. \quad (4)$$

Здесь использованы ранее приведенные значения величин t_n и $l_0 \approx l_m$ при $y \approx 1$. Таким образом, учет зоны химической индукции сводится к замене (2) соотношением

$$y^2 - 1 = \frac{18,5}{\Delta} \frac{l_n + x_n}{r^0}, \quad (5)$$

тогда $l_n + x_n = 0$ и устанавливающим связь между скоростью нестационарной ДВ в точке минимума и относительной шириной задержки энерговыделения. Из предыдущего следует, что $l_n = \frac{\Delta(y^2 + y)}{2\delta^{1/v}} l_0$, а ширина зоны химической индукции [11] $x_n = x_0 y^\alpha \exp[\beta(y^\alpha - 1)]$. Здесь $\beta = E/RT_1$, T_1 — температура в ударно-сжатом газе для идеальной волны, распространяющейся со скоростью D_0 , $\alpha = d \ln T/d \ln D$, $\gamma = 100$

$= d \ln \sigma / d \ln D$, $M = \alpha m - 1 + \gamma(n + 1)$. После подстановок (5) преобразуется к виду

$$y^2 - 1 = \frac{18,5}{\Delta r^0} \left\{ \frac{\Delta(y^2 + y)}{2\delta^{1/\nu}} l_0 + x_0 y^M \exp[\beta(y^\alpha - 1)] \right\}. \quad (6)$$

Уравнение (6) имеет два либо одно, либо ни одного решения в зависимости от значений входящих в него констант. В граничном случае единственного решения оно определяет параметры y_{kp} и r_{kp}^0 такие, что при $r^0 < r_{kp}^0$ существование минимума скорости детонационной волны невозможно. Критические значения находятся при решении (6) совместно с продифференцированным по y уравнением. Соотношение для y_{kp} имеет вид

$$\begin{aligned} A(y+1)^2 &= [(My^{-1} + \alpha\beta y^{\alpha-1})(y^2 - 1) - 2y] y^M \exp[\beta(y^\alpha - 1)], \\ A &= \frac{\Delta l_0}{2\delta^{1/\nu} x_0}. \end{aligned} \quad (7)$$

После решения (7) находим r_{kp}^0 из уравнения

$$r_{kp}^0 = 18,5 x_0 \{A(y_{kp}^2 + y_{kp}) + y_{kp}^M \exp[\beta(y_{kp}^\alpha - 1)]\} / \Delta(y_{kp}^2 - 1). \quad (8)$$

При $A = 0$ соотношения (7), (8) определяют критические параметры y_{gas} , r_{gas}^0 , для газовой детонации. Поэтому (8) удобно переписать в виде

$$\frac{r_{kp}^0}{r_{gas}^0} = \frac{(y_{gas}^2 - 1)}{(y_{kp}^2 - 1)} \left\{ \frac{A(y_{kp}^2 + y_{kp}) + y_{kp}^M \exp[\beta(y_{kp}^\alpha - 1)]}{y_{gas}^M \exp[\beta(y_{gas}^\alpha - 1)]} \right\}. \quad (9)$$

Получить аналитическое решение трансцендентного уравнения (7) в общем случае, т. е. для любых значений параметра A , не удается. Однако если $A \in (0, 10)$ (интервал, характерный для газокапельных топливно-воздушных смесей), то можно в явном виде выписать приближенные решения (7), (9) как функции параметра A с высокой точностью.

Будем искать решение (7) в виде $y = y_{gas}(1 + \varepsilon)$, где ε — малый параметр. Подставив это выражение в (7), разложим его по параметру ε , пренебрегая членами $O(\varepsilon^3)$. После преобразований получим квадратное уравнение

$$c\varepsilon^2 + \varepsilon - eA = 0,$$

где $a = y_{gas}^M \exp[\beta(y_{gas}^\alpha - 1)]$; $b = 2/(y_{gas}^2 - 1)$; $c = y_{gas}b + \alpha\beta y_{gas}^\alpha$; $d = (M-2)(M-1) + \alpha\beta(\alpha-1)y_{gas}^{\alpha-M} + b(3-M+b)$; $e = y_{gas}(y_{gas}+1)/ad \times (y_{gas}-1)$. Поэтому

$$\varepsilon(A) = \frac{2eA}{1 + \sqrt{1 + 4ceA}}, \quad y_{kp} = y_{gas}[1 + \varepsilon(A)]. \quad (10)$$

При заданном значении параметра $A = \Delta l_0 / 2\delta^{1/\nu} x_0$ из (10) находим $\varepsilon(A)$, затем y_{kp} . Подставив вычисленное значение y_{kp} в уравнение (9), определим r_{kp}^0/r_{gas}^0 . Сравнение расчетов y_{kp} по уравнениям (7) и (10) показало, что с увеличением A ошибка в определении y_{kp} и r_{kp}^0/r_{gas}^0 по (10) монотонно растет, достигая 1% при $A \approx 10$. Выражениями (10) можно пользоваться для большинства гетерогенных топливно-воздушных смесей, где условие $A \leq 10$ выполняется. В общем случае необходимо итерациями решать трансцендентное уравнение (7) и полученный результат подставлять в (9).

Таким образом, при известных выражениях для химических задержек воспламенения и параметрах инициирования гомогенной газовой (паровой) смеси того же горючего из формул (7) — (10) можно определить параметры инициирования детонации в гетерогенной (газ — капли) смеси.

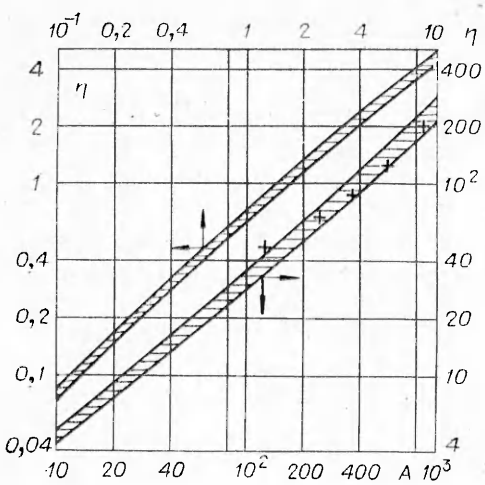


Рис. 2. Зависимость $\eta = r_{kp}^0/r_{газ}^0 - 1$ от параметра A . (+ — данные работы [24] при тех же кинетических константах в индукционном периоде.)

Проанализируем поведение решений уравнения (9), обозначив $\eta = r_{kp}^0/r_{газ}^0 - 1$. В соответствии с (7), (9) $\eta = F(\alpha, \beta, M, A)$ — функция четырех параметров. Для большинства реальных смесей α, β, M изменяются в диапазонах $\alpha \in [1, 4, 1, 6]$, $\beta \in [5, 10]$, $M \in [-0, 5, 0, 5]$. Результаты численных решений (9), в которых варьировались α, β, M в указанных интервалах, приведены на рис. 2 в виде зависимостей $\eta(A)$

(ширина заштрихованной полосы показывает степень изменения η от α, β, M). Видно, что функция η монотонно увеличивается с ростом A и слабо зависит от α, β, M . Этот факт принципиально важен для конструктивного подхода при определении критических энергий инициирования гетерогенной детонации.

Энергия инициирования газовых смесей. К сожалению, в настоящее время сведения о химических задержках воспламенения и точность их количественных выражений для широкого класса газовых реагирующих сред недостаточны. Поэтому для описания химических свойств смеси воспользуемся паряду с кинетическими константами также размером элементарной автоколебательной ячейки на фронте газовой детонации [12—15]:

$$b = \xi \beta \sigma^0 x_0. \quad (11)$$

Здесь записано обобщенное на основании работ [13—16] выражение для длины ячейки при установившейся средней скорости детонации $D = D_0$. Согласно данным [14—16], коэффициент $\xi = 1,4 \pm 0,6$. Причем для воздушных смесей ξ меньше, чем для кислородных, примем для них значения $\xi = 1,1$ и $1,7$ соответственно.

Переход к газовым смесям без капель в уравнениях (7), (8) осуществляется при $d_0 = 0$, $A = 0$. Разлагая полученные выражения в ряд по степеням $(y - 1)$ и сохранив только линейные члены, найдем

$$y_{газ} = 1 + \frac{1}{\alpha \beta + M}, \quad (12)$$

$$r_{газ}^0 = \frac{9,25e}{\Delta} (\alpha \beta + M) x_0 \simeq \frac{25}{\Delta \sigma^0} \frac{\alpha}{\xi} b \simeq \frac{100}{\sigma^0} \frac{\alpha}{\xi} b, \quad (13)$$

где в последнее выражение подставлено $\Delta \simeq 0,25$ из (4). При $\beta \geq 7$ имеем $y_{газ} - 1 \simeq 0,1$, и найденное приближенное решение для $y_{газ}$ и $r_{газ}^0$ обладает достаточной точностью.

Критическая энергия инициирования выражается как

$$E_v^0 = \delta_v p_0 (r^0)^v. \quad (14)$$

Формулы (13), (14) полностью определяют энергию инициирования газовых смесей. Полученная зависимость критических параметров инициирования от ширины индукционной зоны находится в соответствии с работой [17], а общий вид соотношений аналогичен найденным в [18—21]. Несколько отличаются лишь множители перед b^v или x_0^v . В согласии с экспериментальными данными [18], критический динамический радиус $r_{газ}^0$ одинаков для всех случаев симметрии задачи, что не выполнялось в [11] из-за пренебрежения нестационарными динамическими эффектами.

мп. В работе [11] указанный недостаток можно исправить путем замены $(v - 1) \rightarrow \frac{2}{3} v$ в выражениях для $\tilde{E}_{\text{кр}}^0$, тогда результаты вычислений энергий инициирования совпадут с вычислениями по формулам (13), (14) с точностью до коэффициента 2 во всех случаях симметрии. Приблизительно с такой же точностью наблюдается соответствие расчетов по предлагаемой модели с экспериментальными данными [22, 23].

Таким образом, обобщение зависимостей между характерными параметрами в задаче о прямом инициировании детонации, первоначально полученных в численных расчетах для гетерогенной среды без задержек воспламенения, позволило сформулировать простую математическую модель и получить копечные алгебраические выражения для расчета энергий инициирования как газовых смесей, так и газокапельных с химическими задержками воспламенения. При этом для газовых смесей за счет специального выбора t_0/t_b , определяющего значение Δ , получены формулы, близкие к наиболее точным из известных ранее. (Очевидно, модель допускает некоторый произвол в выборе указанной величины, слабо влияющей на результаты при $x_0 \ll \lambda_0$.) Для газокапельных систем с большим временем дробления капель относительно времени химической индукции в волне Чепмена — Жуге расчет по описанной модели коррелирует (см. рис. 2) с имеющимися результатами полного численного решения задачи инициирования [24] в кислородных газовзвесях. В промежуточном случае сопоставимых времен дробления и химической индукции модель дает достаточно обоснованную интерполяцию энергий инициирования на область мелкодисперсных капельных аэрозолей.

Для газовзвесей, химические задержки воспламенения которых достоверно неизвестны, но экспериментально определены энергии инициирования газовой смеси того же молекулярного состава и равной энталпии, можно, используя зависимость $r_{\text{кр}}^0/r_{\text{газ}}^0$ от параметра $A \approx 18\beta l_0/r_{\text{газ}}^0$ на рис. 2, оценивать энергию инициирования гетерогенной детонации распылов с каплями любых размеров.

*Поступила в редакцию 28/XII 1984,
после доработки — 15/III 1985*

ЛИТЕРАТУРА

1. С. А. Ждан. ФГВ, 1976, 12, 4, 586.
2. С. А. Ждан. ФГВ, 1977, 13, 2, 258.
3. С. А. Ждан.— В кн.: Динамика сплошной среды. Вып. 32. Новосибирск, 1977.
4. С. А. Ждан, В. В. Митрофанов.— В кн.: Детонация. Критические явления. Физ.-хим. превращения в ударных волнах. Черноголовка, 1978.
5. В. П. Коробейников, Н. С. Мельникова, Е. В. Рязанов. Теория точечного взрыва. М.: Физматгиз, 1961.
6. Е. К. Dabora, L. P. Weinberger. Acta Astron., 1974, 3/4, 361.
7. Б. Е. Гельфанд.— В кн.: Химия физич. процессов горения и взрыва. Детонация. Черноголовка, 1977.
8. Б. Е. Гельфанд, С. А. Губин, С. М. Когарко. Arch. termodyn. i spalan., 1975, 6, 1, 77.
9. Т. И. Pierce, С. В. Kauffman, J. A. Nicholls. Amer. Inst. Aeron. Astron., Paper N 163. N. Y., 1975.
10. А. В. Пинаев, А. И. Сычев. ФГВ, 1982, 18, 6, 81.
11. В. В. Митрофанов. ФГВ, 1983, 19, 4, 169.
12. Б. В. Войцеховский, В. В. Митрофанов, М. Е. Топчян. Структура фронта детонации в газах. Новосибирск: Изд-во СО АН СССР, 1963.
13. В. В. Митрофанов, В. А. Субботин.— В кн.: Горение и взрыв. М.: Наука, 1977.
14. А. А. Васильев, Ю. А. Николаев, В. Ю. Ульянинский. ФГВ, 1977, 13, 3; 1979, 15, 6.
15. В. И. Манжалей, В. А. Субботин, В. А. Щербаков.— В кн.: Детонация. Черноголовка, 1977.
16. В. И. Манжалей. Канд. дис. Новосибирск, 1981.
17. Я. Б. Зельдович, С. М. Когарко, И. И. Симонов. ЖТФ, 1956, 26, 8, 1744.
18. J. H. Lee. Ann. Rev. Phys. Chem., 1977, 28, 75.
19. В. Ю. Ульянинский. ФГВ, 1980, 16, 3, 101.
20. А. А. Васильев, Ю. А. Николаев, В. Ю. Ульянинский. ФГВ, 1976, 12, 6.
21. В. Ю. Ульянинский. ФГВ, 1981, 17, 2, 127.
22. D. C. Wall, J. B. Elworth, G. Hooper. Acta Astron., 1978, 5, 11—12, 997.
23. А. А. Васильев. ФГВ, 1983, 19, 1, 121.
24. С. А. Ждан. ФГВ, 1981, 17, 6, 105.